

УДК 519.958

КОМПЛЕКС ПРОГРАММ ДЛЯ СПЕКТРАЛЬНОГО АНАЛИЗА СЛУЧАЙНЫХ ПРОЦЕССОВ

B. C. Лебедев

Описан комплекс программ для проведения корреляционно-спектрального анализа временных рядов. Приведены результаты его тестирования на различных моделях.

A set of programs for correlation-spectral analysis of the time series is described. Its testing results with various models are presented.

С увеличением быстродействия электронных вычислительных машин и открытия алгоритмов быстрого преобразования Фурье (БПФ) численный Фурье-анализ получил значительное распространение в научных исследованиях. В САО АН СССР с 1974 г. используется методика Фурье-анализа для исследования быстрофлюктуирующих объектов. Данную работу можно рассматривать как продолжение и развитие работы [1]. Перечислим другие области применения этой методики в астрономии:

- 1) анализ спектров мощности (СМ) атмосферных мерцаний и дрожаний [2];
- 2) анализ СМ шумов фотоприемников (фотоэмulsionий, ФЭУ, ЭОП и др.);
- 3) цифровая фильтрация наблюдательных данных [3—8];
- 4) учет влияния аппаратных функций приборов [9—13];
- 5) анализ контуров спектральных линий [14—16];
- 6) анализ кривых блеска затменных систем;
- 7) поиск флюктуаций фонового радиоизлучения.

Обозначим значения исходного временного ряда через x_j , $j = 0, 1, \dots, N-1$. Результатом использования Фурье-анализа является оценка спектра мощности случайного процесса, которая показывает распределение по частотам вклада в дисперсию.

$$a_m + i b_m = \frac{1}{\sqrt{N}} \sum_j x_j \exp(2\pi i jm/N), \quad m = 0, 1, \dots, N-1; \quad (1)$$

$$P_m = a_m^2 + b_m^2 \quad (2)$$

— спектр мощности.

Для того чтобы получить относительный СМ, следует разделить P_m на дисперсию исходного ряда σ^2 :

$$\sigma^2 = \frac{1}{N} \sum_j (x_j - \bar{x})^2, \quad (3)$$

где \bar{x} — среднее значение исходного ряда;

$$\bar{x} = \frac{1}{N} \sum_j x_j. \quad (4)$$

При большом числе слагаемых в (1) a_m и b_m стремятся к нормальному распределению при любом распределении независимых значений x_j . А P_m тогда стремится к χ^2 -распределению с двумя степенями свободы. Последнее обстоятельство позволяет находить доверительные интервалы для оценки СМ.

Неприятной особенностью оцениваемого таким образом СМ является его несостоительность, т. е. с увеличением длины ряда N эта оценка не стремится

к истинному значению. Это связано с тем, что новая информация используется не только для улучшения оценки СМ, а еще и на получение его оценки на других частотах. Стандартные способы борьбы с этим обстоятельством следующие:

- либо разбивать исходный ряд на части, оценивать на каждом из них СМ и усреднять СМ;
- либо оценить СМ на всем исходном ряде, но затем подвергнуть СМ процедуре цифровой фильтрации;
- либо оценку СМ производить с использованием теоремы Винера—Хинчина, т. е. выразить СМ через преобразование Фурье от автокорреляционной функции, причем последнюю оценивать на длине $M \ll N$.

$$C_k = \frac{1}{N} \sum_{j=0}^{N-1-k} (x_j - \bar{x})(x_{j+k} - \bar{x}), \quad k = 0, 1, \dots, M-1. \quad (5)$$

Другой особенностью Фурье-анализа является циклическое продолжение наблюдаемого ряда с возможностью появления скачка в нем и, как следствие,

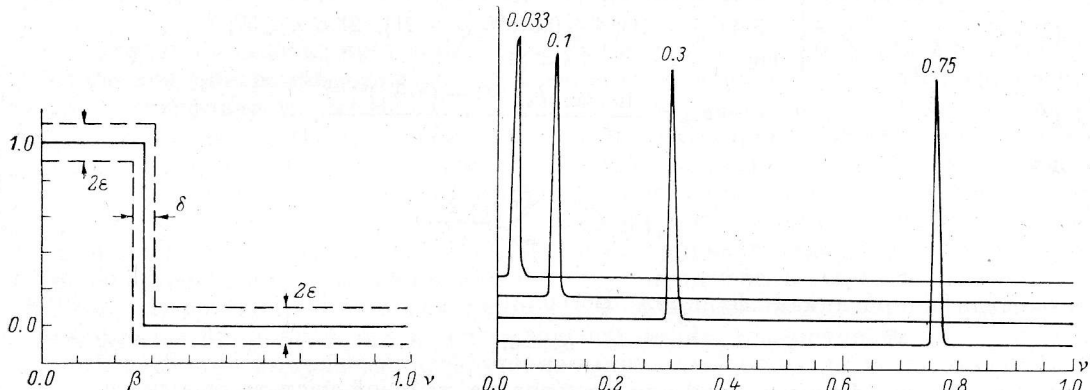


Рис. 1. Амплитудно-частотная характеристика цифрового фильтра высоких частот.

Рис. 2. Спектры мощности гармонического сигнала.

Цифры у пиков — безразмерные частоты.

параллельных высокочастотных составляющих в СМ. Методом борьбы с этим является умножение исходного ряда на временное окно-гладкую функцию, спадающую до нуля к концам массива. Эта операция в частотной области соответствует свертке (а значит, и цифровой фильтрации) с функцией, соответствующей преобразованию Фурье от временного окна, поэтому для исключения появления ложных пиков на СМ следует выбирать окна с минимальным уровнем боковых лепестков.

Изложение свойств дискретного преобразования Фурье и методов его практического использования можно почерпнуть из книг и статей [17—56].

Наблюдательные данные довольно часто содержат значительные тренды, что приводит к подъему СМ в области низких частот. Такие способы, как аппроксимация тренда полиномом некоторой степени или фильтр первых разностей, рекомендуемый в [17], приводят к неудовлетворительным результатам. В первом случае в СМ все равно остается подъем из-за того, что реальные тренды редко описываются полиномами, а во втором — из-за высокого уровня ложных пиков в СМ. По нашему мнению, качественную фильтрацию может обеспечить только идеальный цифровой фильтр (ЦФ).

Нерекурсивный ЦФ описывается выражением

$$y_j = \sum_{k=-N_p}^{N_p} b_k x_{j+k}, \quad j = 0, 1, \dots, N-1, \quad (6)$$

причем недостающие отсчеты x_{j+k} берем, используя циклическое продолжение. Требование отсутствия фазовых искажений дает условие симметрии коэффи-

иентов $b_{-k} = b_k$. Введем безразмерную частоту $\nu = f/f_N$, где $f_N = 1/(2\pi)$ — частота Найквиста; τ — шаг квантования. Требуется сконструировать ЦФ со следующей амплитудно-частотной характеристикой (рис. 1): полностью пропускает (задерживает) до некоторой частоты, после которой полностью задерживает (пропускает). Обозначим через β безразмерную частоту среза, через δ — ширину переходной области, а через ε — амплитуду пульсаций в областях пропускания и задержки (вместо ε часто используют $\lambda = -20 \lg \varepsilon$, т. е. выражают амплитуду пульсаций в децибелах). Итак, заданы β , δ , λ . Требуется найти N_p и b_k . Ясное и алгоритмизированное изложение этого содержится в работе Кайзера и Рида [7]. При $\delta < 2\beta$ и $\varepsilon < 0.02$ имеет место следующий алгоритм расчета N_p и b_k :

$$(1) \quad N_p = \text{entier}(K_f/(2\delta) + 0.75),$$

где

$$K_f = \begin{cases} 0.13927(\lambda - 7.95), & \lambda > 21; \\ 1.8445, & \lambda \leq 21; \end{cases}$$

$$(2) \quad \eta = \begin{cases} 0.1102(\lambda - 8.7), & \lambda \geq 50; \\ 0.5842(\lambda - 21)^{0.4} + 0.07886(\lambda - 21), & 21 < \lambda < 50; \\ 0.0, & \lambda \leq 21; \end{cases}$$

$$(3) \quad b_k = b_{-k} = \frac{\sin(\beta k \pi)}{k \pi} \frac{J_0(\eta(1 - (k/N_p)^2)^{1/2})}{J_0(\eta)},$$

где

$$J_0(x) = 1 + \sum_{k=1}^{\infty} \left(\frac{(x/2)^k}{k!} \right)^2$$

— модифицированная функция Бесселя;

$$(4) \quad b_0 = \beta.$$

Чтобы коэффициент передачи фильтра на нулевой частоте был равен единице, следует нормировать коэффициенты фильтра

$$b_k = b_k \left/ \left(b_0 - 2 \sum_{k=1}^{N_p} b_k \right) \right.,$$

$$k = 0, 1, \dots, N_p.$$

Чтобы из фильтра высоких частот сделать фильтр низких частот, достаточно результат работы фильтра ВЧ вычесть из исходных данных:

$$y_i = x_i - \sum_{k=-N_p}^{N_p} b_k x_{i+k} = \sum_{k=-N_p}^{N_p} \tilde{b}_k x_{i+k}.$$

Отсюда следует

$$\tilde{b}_0 = 1 - \beta;$$

$$\tilde{b}_k = -b_k, \quad k = \pm 1, \pm 2, \dots, \pm N_p.$$

Гарантированный минимум боковых лепестков не вносит заметных ложных пикив в СМ, что делает такой ЦФ привлекательным в задачах обнаружения слабых сигналов.

Из окон, рассмотренных в [28], мы выбрали окно Кайзера—Бесселя, как имеющее очень малый уровень боковых лепестков:

$$w_j = \begin{cases} J_0(\pi \alpha (1 - (j/M)^2)^{1/2}) / I_0(\pi \alpha), & j < M; \\ 0, & j \geq M. \end{cases}$$

При $\alpha = 3.5$ максимальный уровень боковых лепестков составляет 82 дБ.

Дискретное преобразование Фурье мы вычисляли алгоритмом Кули—Тьюки, адаптированным к работе с действительными исходными данными [22].

Для оценки доверительного интервала СМ используем тот факт, что величина $\mu P(f)/\Gamma(f)$ распределена по закону χ^2 с числом степеней свободы

$$\mu = 2N \int_{-\infty}^{\infty} w(u) du \approx 3.7 N/M,$$

где $\Gamma(f)$ — теоретическое значение СМ. Тогда интервал

$$\left[\frac{\mu P(f)}{x_{\mu}(1-\alpha/2)}, \frac{\mu P(f)}{x_{\mu}(\alpha/2)} \right]$$

является $100(1-\alpha)\%$ -ным доверительным интервалом для $\Gamma(f)$. Здесь $x_{\mu}(\alpha)$ — квантиль распределения χ^2 . При большом числе степеней свободы распределение χ^2 стремится к нормальному, что упрощает оценку доверительного интервала.

Нами был создан комплекс программ для ЭВМ М-222 на языке алгол (транслятор ТА-1М), позволяющий производить спектрально-корреляционный анализ временных рядов. Кроме основного модуля обработки он содержит подпрограммы ввода информации с различных машиночитаемых носителей, дополнительной обработки информации, графического вывода результата. Частично этот комплекс реализован и на ЭВМ М-4030 в системе ДОС также на языке алгол.

Условно комплекс программ можно разделить на три части. К первой части относятся программы, позволяющие вводить информацию с различных носителей (перфокарты, перфолента с различной кодировкой, магнитная лента) и записывать ее на магнитную ленту в стандартной форме по 2048 чисел, причем первым числом указывается длина содержательной части записываемого массива. Кроме того, к первой части можно отнести программы, позволяющие генерировать данные, которые используются для тестирования программы и калибровки результатов ее работы. Можно генерировать данные из следующего набора элементарных сигналов и шумов: нормальный белый шум, гармонические сигналы произвольной частоты и амплитуды, периодические последовательности импульсов прямоугольной или треугольной формы, квазипериодические последовательности импульсов, детерминированные последовательности импульсов в форме гауссиан.

Вторая часть содержит основные обрабатывающие процедуры. Данные для нее берутся с магнитной ленты, а результаты (АКФ и СМ) также заносятся на магнитную ленту. Если заданы соответствующие параметры, то программа производит ЦФ высоких и (или) низких частот. Затем вычисляет АКФ, умножает ее на временное окно Кайзера—Бесселя и производит преобразование Фурье. Имеется модификация этой части, в которой СМ получают, минуя вычисление АКФ.

Программы третьей части производят различные действия с занесенными на магнитную ленту АКФ и СМ (фильтрацию, усреднение, вывод на печать и графопостроитель).

На рис. 2 изображены СМ гармонических сигналов различной частоты. Обращает на себя внимание отсутствие боковых лепестков и постоянство абсолютного спектрального разрешения с частотой. На рис. 3 демонстрируется возможность разрешения двух близких гармонических сигналов. Хорошо разрешаются синусоиды, различающиеся по частотам на 5%.

На рис. 4 приведены СМ суммы гармонических сигналов различной амплитуды и нормального белого шума с единичной дисперсией. При длине исходного ряда $N=2048$ точек и ширине окна $M=256$ точек с достоверностью 99.7% выявляется синусоида амплитудой $a=0.2\sigma$. Дальнейшее улучшение чувствительности путем усреднения нескольких СМ дается большой ценой, так как чувствительность растет очень медленно — как $k^{1/4}$, где k — число участвующих в усреднении СМ. Например, для повышения чувствительности на 1^м требуется увеличение времени наблюдения в 40 раз. СМ последовательностей прямоугольных импульсов приведены на рис. 5 и 6, причем на рис. 6 — для случайного расстояния между импульсами, распределенного по нормальному закону. Обращает на себя внимание «выживание» некоторых гармоник при значительных вариациях расстояния между импульсами.

Наконец, на рис. 7 представлен СМ наблюдений пульсара в Крабовидной туманности в 12"-ной диафрагме 6-метрового телескопа с $\tau=1$ мс. Наблюдения проводились Г. М. Бескиным, С. И. Неизвестным, А. А. Пимоновым,

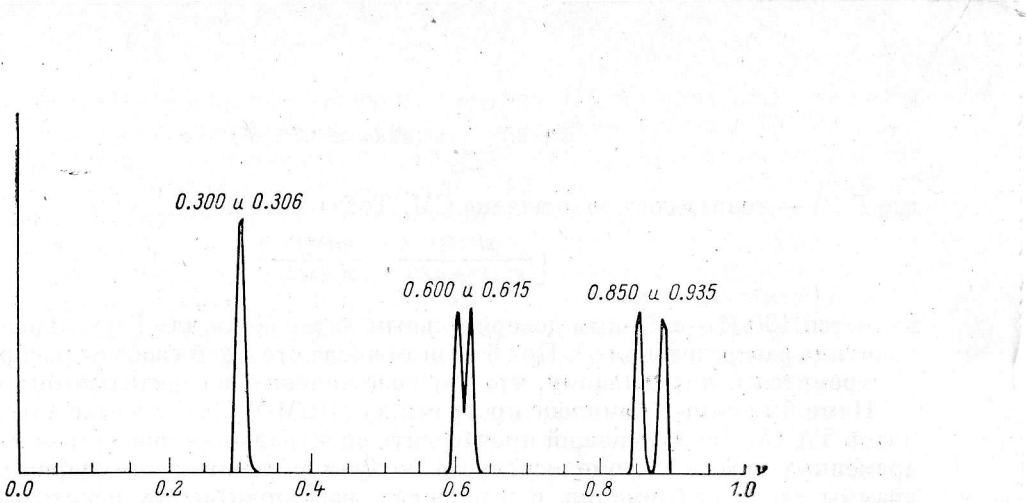


Рис. 3. Спектры мощности близких по частоте гармонических сигналов.

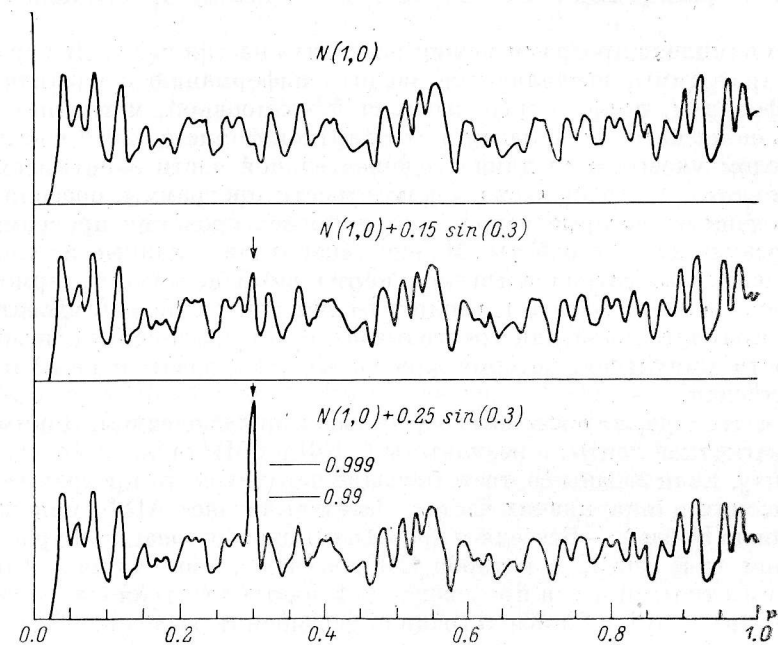


Рис. 4. Спектры мощности смеси нормального белого шума и гармонические сигналы.
Показаны 0.99 и 0.999 доверительные интервалы.

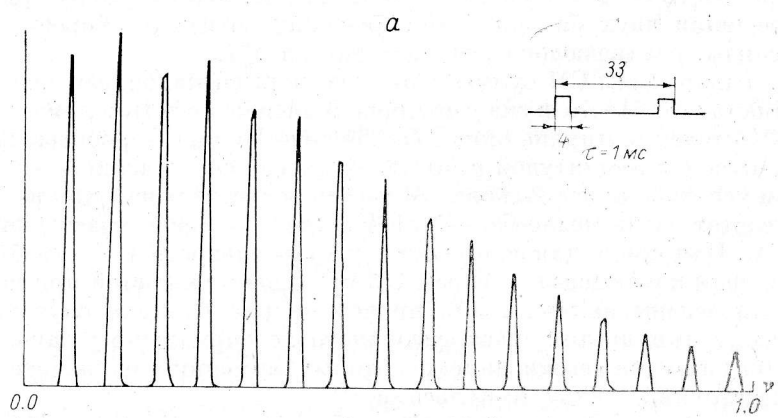


Рис. 5. Спектры мощности последовательностей прямоугольных импульсов.

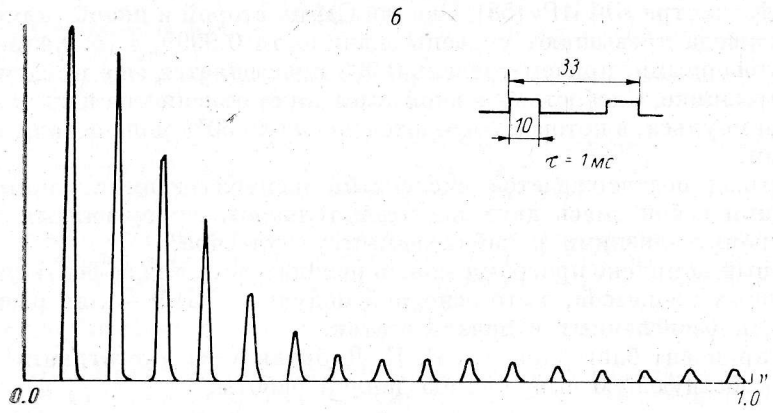


Рис. 5 (продолжение).

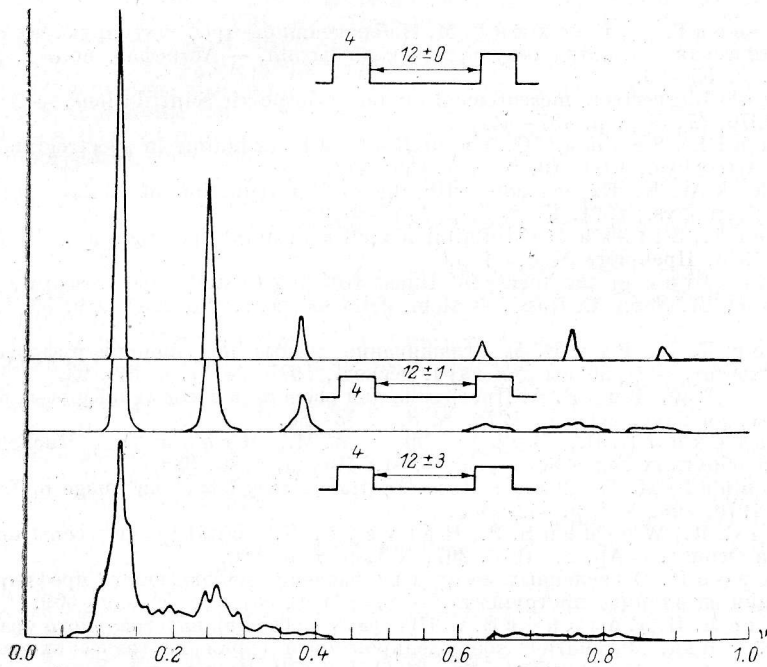


Рис. 6. Спектры мощности последовательностей прямоугольных импульсов при вариациях расстояния между импульсами.

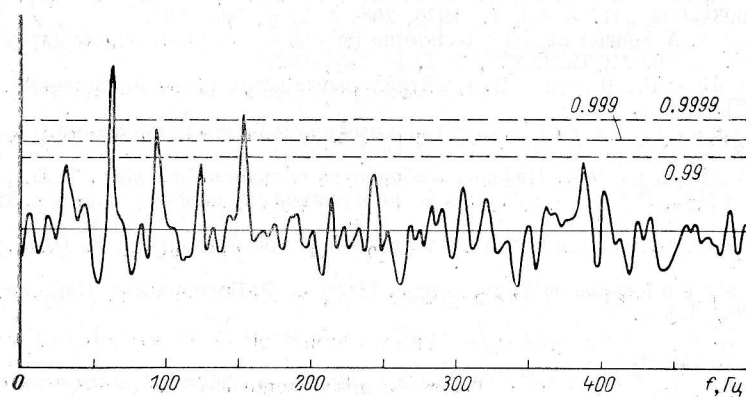


Рис. 7. Спектр мощности излучения пульсара в Крабовидной туманности.

В. Л. Плахотниченко и В. Ф. Шварцманом с помощью комплекса МАНИЯ [57] и электрофотометра «ЭФИР» [58]. Оценки СМ на второй и пятой гармониках основного периода превышают уровень значимости 0.9999, т. е. являются абсолютно достоверными, причем уровень 0.999 превышается еще и оценкой СМ на третьей гармонике. Слабость основной гармоники объясняется наличием у пульсара интеримпульса, в котором сосредоточено около 50% мощности по сравнению с основным.

Этот вывод подтверждается численным экспериментом с данными, представляющими собой смесь двух последовательностей треугольных импульсов с параметрами, близкими к наблюдаемым у пульсара.

Созданный комплекс программ можно использовать для эффективной оценки СМ различных процессов, а его основной модуль — БПФ — для решения других задач, перечисленных в начале статьи.

Автор приносит благодарность В. К. Дубровичу за многогранную деятельность, способствующую выполнению данной работы.

Литература

1. А лек се е в Г. Н., Б е ск и н Г. М. Наблюдения быстрофлюкутирующих объектов. II. Математическая обработка результатов наблюдений. — Астрофиз. исслед. (Изв. САО), 1976, 8, с. 53—63.
2. P a t e r n o L. Spectrum measurement of star atmospheric scintillations. — Astron. Astrophys., 1976, 47, N 3, p. 437—441.
3. R u s c o n i L., S e d m a k G. The digital filterin technique in spectrogram analysis. — Astron. Astrophys., 1971, 10, N 3, p. 469—473.
4. B o n s a c k W. K. Experiments with the digital reduction of stellar spectrograms. — Astron. Astrophys., 1974, 15, N 3, p. 374—382.
5. K i p r e g T., S i t s k a J. On digital reduction of stellar spectrograms. — Тарту астрон. обсер., 1975, Препринт № 6, 21 р.
6. A p p l i c a t i o n of the theory of linear filtering to stellar spectroscopy / S. Gaudenzi, L. Gratton, R. Nesci, C. Rossi. — Mem. della soc. astr. Italiane, 1979, 50, N 2, p. 227—244.
7. К ай з е р Д. Ф., Р и д В. А. Сглаживание данных при помощи цифрового фильтра низких частот. — Приборы для науч. исслед., 1977, № 11, с. 82—93.
8. К ай з е р Д. Ф., Р и д В. А. Программа для расчета полосовых цифровых фильтров. — Приборы для науч. исслед., 1978, № 8, с. 83—86.
9. Г ончарский А. В., Ч ере пашук А. М., Я г о л а А. Г. Численные методы решения обратных задач астрофизики. М.: Наука, 1978. 335 с.
10. M c D o p p e l l M. J., B a t e s R. H. Digital restoration of an image of Betelgeuse. — Ap. J., 1976, 208, N 2, p. 443—452.
11. L u n d a C. R., W o r d e n S. P., H a g v e y J. W. Digital image reconstruction applied to Alpha Orionis. — Ap. J., 1976, 207, N 1, p. 174—180.
12. С аттар о в И. О численных методах исправления наблюденного профиля спектральных линий за влияние инструмента. — АЖ, 1978, 55, № 3, с. 649—659.
13. Д о б к и н Л. И., С и з и к о в В. С. Программы решения интегрального уравнения типа свертки. — В кн.: Математическое моделирование и теория электрических цепей. Вып. 14. Респ. межвуз. сб. Киев, 1976, с. 20—31 (АН УССР. Ин-т электродинамики).
14. S m i t h M. A., G r a u y D. F. Fourier analysis of spectral line profiles: a new tool for an old art. — PASP, 1977, 88, N 526, p. 809—823.
15. S m i t h M. A., P a r s o n s S. B. Applications of Fourier analysis to broadening of tellar line profiles. I. — Ap. J., Suppl., 1975, 29, N 289, p. 341—362; II. — Ap. J., 1976, 203, N 3, p. 603—609; III. — Ap. J., 1976, 208, N 2, p. 487—493.
16. E b e t s D. A Fourier analysis technique for measuring photospheric expansion in early-type stars. — Ap. J., 1978, 224, N 1, p. 185—192.
17. Д ж енкин с Г., В ат т с Д. Спектральный анализ и его приложения. Вып. 1. М.: Мир, 1971. 316 с.
18. Д ж енкин с Г., В ат т с Д. Спектральный анализ и его приложения. Вып. 2. М.: Мир, 1972. 287 с.
19. Г ол д Б., Р ей дер Ч. Цифровая обработка сигналов. М.: Мир, 1973. 316 с.
20. Б енд ат Дж., П ир с о л А. Измерение и анализ случайных процессов. М.: Мир, 1974. 464 с.
21. С о рок о Л. М., С т р и ж Т. А. Спектральные преобразования на ЦВМ. Дубна, 1972. 136 с.
22. В ед ени е в цифровую фильтрацию / Под ред. Р. Богнера и А. Константинидиса. М.: Мир, 1976. 216 с.
23. O t h e s R. K., E n o c h s o n L. Applied time series analysis. Vol. 1. Basic techniques, 1978, N 4, 449 р.
24. Р абин ер Л., Г оул д Б. Теория и применение цифровой обработки сигналов. М.: Мир, 1978. 848 с.

25. Ярославский Л. П. Введение в цифровую обработку изображений. М.: Мир, 1979. 312 с.
26. Поляк И. И. Методы анализа случайных процессов и полей в климатологии. Л.: Гидрометеоиздат, 1979. 256 с.
27. Дорман Л. И., Пимонов И. А., Сацук В. В. Математическое обеспечение исследований геофизических закономерностей на примере космических лучей. М.: Наука, 1978. 152 с.
28. Харрис Ф. Дж. Использование окон при гармоническом анализе методом дискретного преобразования Фурье. — ТИИЭР, 1978, 66, № 1, с. 60—96.
29. Алгоритмы быстрого преобразования Фурье и их свойства / А. А. Белый и др. — Зарубеж. радиоэлектроника, 1979, № 2, с. 3—29.
30. Юани С. К. Сравнение пяти методов вычисления спектра мощности случайного процесса с использованием сегментации данных. — ТИИЭР, 1977, 65, № 6, с. 200—202.
31. Овчарени и мгновенного спектра / В. М. Ефанов и др. — Автометрия, 1973, № 3, с. 39—43.
32. Блэчмен. Сопоставление преобразования Фурье и Уолша. — ТИИЭР, 1974, 62, № 3, с. 72—83.
33. Гусев В. Д. Процедура быстрого преобразования Фурье и быстрого преобразования Уолша. — В кн.: Вычислительные системы/Под ред. Н. Г. Загоруйко. Вып. 45. Новосибирск, 1971, с. 107—116.
34. Чайлдерс Д. Дж., Скиппер Д. П., Кемерейт Р. Ч. Кепстр и его применения при обработке данных. — ТИИЭР, 1977, 65, № 10, с. 5—23.
35. Программы быстрых преобразований Фурье, Меллина и Фурье—Бесселя / Д. К. Тхабасимов и др. М., 1978. 17 с. (Ин-т косм. исслед., № Пр-418).
36. Коняев П. А. Программа спектрального анализа стационарных случайных процессов (ПОО2611). — Алгоритмы и программы, 1978, № 1, поз. 106.
37. Быстрое дискретное преобразование Фурье (ПООС2806) / Д. А. Бурджанадзе и др. — Алгоритмы и программы, 1978, № 2, поз. 115.
38. Гофайзен О. В. Алгоритмы быстрого преобразования Фурье (ПОО2676). — Алгоритмы и программы, 1978, № 2, поз. 106.
39. Алгоритмы взаимного спектрального анализа двух стационарных случайных процессов (ПОО2875) / Х. А. Валеев и др. — Алгоритмы и программы, 1978, № 3, поз. 69.
40. Образцов Н. Н. Процедура быстрого преобразования Фурье (ПОО1177). — Алгоритмы и программы, 1975, № 2, поз. 16.
41. Курянов Б. Ф., Медведева Л. Е. Гармонический анализ стационарных случайных процессов. М., МГУ, 1970. 63 с. (МГУ, ВЦ. Сер. Статистика и стохастические системы. Вып. 8).
42. Калинин Н. И., Кренкель Т. Э. Быстрое преобразование Фурье для действительной функции (ПОО0741). — Алгоритмы и программы, 1974, № 3, поз. 216.
43. Калинин Н. И., Кренкель Т. Э. Быстрое преобразование Фурье для комплексной функции (ПОО0742). — Алгоритмы и программы, 1974, № 3, поз. 217.
44. Олевская С. М. Алгоритм нахождения спектральной плотности случайных процессов по данным наблюдений (ПОО1051). — Алгоритмы и программы, 1975, № 1, поз. 11.
45. Файнберг Э. Б. Быстрое преобразование Фурье. — В кн.: Программы обработки геомагнитных данных на ЭВМ Мир-1. М., 1975, с. 5—6. (АН СССР ИЗМИР).
46. Тутлене М. И., Габриэльчию А. З. Программа для определения спектра мощности методом быстрого преобразования Фурье (ПОО1383). — Алгоритмы и программы, 1975, № 3, поз. 53.
47. Луни В. Ю. Комплекс программ быстрого преобразования Фурье. — В кн.: Программное обеспечение структурных исследований. Пущино, 1979. 45 с. (Науч. центр биол. исслед., № 3).
48. Коршевер И. И. Об организации Фурье-преобразования больших массивов. — Автометрия, 1975, № 2, с. 73—83.
49. Чотакое быстрое преобразование Фурье? / Коркен и др. — ТИИЭР, 1967, 55, № 10, с. 21—48.
50. Бергланд. Руководство к быстрому преобразованию Фурье. — Зарубеж. радиоэлектроника, 1971, № 3, с. 52—72.
51. What is the FFT? / W. T. Cochran et al. — IEE Trans. A. and E., 1967, AU-15, p. 45—55.
52. Cooley J. W., Tukey J. An algorithm for the machine calculation of complex Fourier series. — Math. Comput., 1965, 19, p. 297—301.
53. Singleton R. C. Algorithm 338. Algol procedures for the FFT. — CACM, 1968, N 11, p. 647—654.
54. Singleton R. C. Algorithm 339. Algol procedure for the FFT with arbitrary factors. — CACM, 1968, N 11, p. 776—779.
55. Синглетон. Алгоритм быстрого вычисления преобразования Фурье. — Экспресс-информация. Вычислительная техника, 1968, № 5, с. 14—17.
56. Ньюнг. An error analysis of power spectra. — Astron. Astrophys., 1976, 47, N 3, p. 449—452.
57. Шварцман В. Ф. Эксперимент МАНИЯ. Астрофизические задачи, математические методы, инженерный комплекс, результаты первых наблюдений. — Сообщ. САО, 1977, 19, с. 5—38.
58. Неизвестный С. И., Пимонов А. А. Электрофотометр первичного фокуса БТА. — Сообщ. САО, 1978, 23, с. 56—67.

Поступила в редакцию 27.01.81